

15. Назаров П. Г., Пуринь В. И. Реакция бласттрансформации лимфоцитов в культурах цельной крови. Количественная оценка с помощью стинцилляционного счетчика // Лаб. дело.— 1975.— № 4.— С. 195—197.
16. Прокопенко Л. Г., Кедровская Н. Н. Иммунорегуляторные факторы сыворотки при токсическом поражении печени // Патол. физиология и эксперим. терапия.— 1983.— № 4.— С. 56—60.
17. Dosch H. M., Schuurman R. K., Gelfand E. W. Polyclonal activation of human lymphocytes in vitro — II. Reappraisal of T and B cellspecific mitogens // J. Immunol.— 1980.— 125, N 2.— P. 827—832.
18. Gupta S., Schwartz S. A., Good R. A. Subpopulations of human T lymphocytes. VII. Cellular basis of concanavalin A-induced T cellmediated suppression of immunoglobulin production by B lymphocytes from normal humans // Cell. Immunol.— 1979.— 44, N 1.— P. 242—251.
19. Knapp W., Posch B. Concanavalin A-induced suppressor cell activity opposing effect of hydrocortisone // J. Immunol.— 1980.— 124, N 1.— P. 168—172.
20. Sakane T., Green I. Human suppressor T cell induced by concanavalin A; suppressor T cell belong to distinctive T cell subclasses // Ibid.— 1977.— 119, N 3.— P. 1169—1178.

Ин-т физиологии им. А. А. Богомольца
АН УССР, Киев

Материал поступил
в редакцию 25.05.90

Б. С. Сушко

Вариации эффективных коэффициентов диффузии кислорода в тканях крыс разного возраста под действием алиментарного фактора

Для количественной оценки транспорта кислорода в тканях животных в настоящее время существует два подхода. Один из них, основанный на постулате Варбурга и Крока о том, что молекулярный кислород распределяется в тканях и клетках только путем диффузии, использует математические диффузационные модели. Другой — экспериментальным путем выясняет распределение O_2 в биологических объектах, определяя числовые характеристики массопереноса [1, 2, 5, 9, 15, 17, 18, 20—25].

В нашей работе на основании результатов экспериментальных исследований представлены численные значения эффективных коэффициентов диффузии кислорода (ДО_2) в мышечной ткани и области подкожной клетчатки крыс разного возраста в контроле и при воздействии пищевыми добавками растительных жиров разной насыщенности.

Методика

Эффективные коэффициенты диффузии кислорода оценивали *in vivo* с помощью диффузационного датчика O_2 и аппаратуры, описанных в наших предыдущих работах [1, 9]. Датчик представлял собой торцевой платиновый электрод в стеклянной изоляции, стационарно зафиксированный внутри инъекционной иглы диаметром 0,5 мм. Диаметр рабочей поверхности платины составлял около 50 мкм. Индифферентным электродом служил хлорсеребряный электрод, который соединялся с телом животного посредством физиологического раствора в стеклянном стаканчике. Проводившиеся измерения основаны на полярографическом принципе. При подаче на датчик рабочего поляризующего напряжения 0,6 В в цепи электродов возникает диффузионный ток кислорода, быстро убывающий в течение первых секунд — так называемый бросковый ток. Кинетика формирования броскового тока зависит от скорости поступления молекул кислорода в зону электрохимической реакции восстановления

© Б. С. Сушко, 1991.

кислорода, находящие значения брение первых 5—
тельного устройс разователь. Посравление ходом всего цикла и чатным устройс ном до 30 °C го с газами в каждого цикла та диффузии (анализ заключа кового тока, про рабочей поверхн

Оценку ДО_2 толени крыс, (на 100 г массы вания проведены 1,5 мес) и взросл производили добличным содержа 2—3 нед в конце два вида жиров: ло с содержанием автоматического ки ткани. На за четырех произво дуя измерения в каждой точки т броскового тока, диффузии и их

Средние зна ли, используя об

Результаты и их
Как показали на эффективных коэффициентах голени крыс няется в зависим животного, вида многих случаях ния ДО_2 , которо ного значения. измерений и не чального возрас это возрастание В таблице пред диффузии кисло риментальных гр характерны для рядок ниже, чем иентов присущ. Для взрослых же подкожной обла тканей молодых разом, являются кислорода, чем т Значения эф руженные в тка

кислорода, находящейся вблизи рабочей поверхности датчика. Дискретные значения броскового тока через равные промежутки времени в течение первых 5—6 с регистрировали в памяти управляющего вычислительного устройства через усилитель тока и аналого-цифровой преобразователь. Посредством программы происходили автоматическое управление ходом опыта и анализ бросков тока на протяжении всего цикла измерений. Результаты анализа регистрировали печатным устройством. Калибровку проводили в терmostатированном до 30°C слое физиологического раствора, уравновешенного с газами воздуха и насыщающимися водянымиарами после каждого цикла измерений. Калибровочное значение коэффициента диффузии O_2 приравнивали к $3,03/10^{-5} \text{ см}^2/\text{с}$. Дальнейший анализ заключался в сравнении рассчитанных параметров броскового тока, пропорциональных коэффициентам переноса кислорода к рабочей поверхности датчика, в тканях и калибровочной среде.

Оценку \bar{D}_O_2 производили в мышечной ткани и подкожной области голени крыс, находящихся под легким хлоралозо-уретановым (на 100 г массы 5 мг и 50 мг соответственно) наркозом [1, 9]. Исследования проведены на животных двух возрастных групп: молодых (1—1,5 мес) и взрослых (6—8 мес). Алиментарное воздействие на животных производили добавлением к обычной пище растительных жиров с различным содержанием насыщенных жирных кислот (НЖК) в течение 2—3 нед в концентрации 0,2 г на 100 г массы в сутки. Использовали два вида жиров: растительные рафинированное и гидрированное масло с содержанием НЖК более 60 %. На протяжении одного цикла автоматического измерения результаты регистрировали от одной точки ткани. На задних конечностях животных измерения проводили в четырех произвольных точках: в двух точках на каждой лапе, чередуя измерения в мышечной ткани и подкожной области. За цикл для каждой точки ткани проводили от 20 до 30 измерений параметров броскового тока, по которым оценивали эффективные коэффициенты диффузии и их средние значения для данной точки ткани.

Средние значения \bar{D}_O_2 по каждой из 12 групп результатов находили, используя обычные методы статистики.

Результаты и их обсуждение

Как показали наши настоящие и предыдущие исследования, значения эффективных коэффициентов \bar{D}_O_2 в мышечной ткани и подкожной области голени крыс довольно широко варьируют. Значение \bar{D}_O_2 изменяется в зависимости от времени измерения, точки измерения, возраста животного, вида ткани и при воздействии жировыми диетами [1, 9]. Во многих случаях в начале измерений регистрируют более низкие значения \bar{D}_O_2 , которые постепенно возрастают до определенного стационарного значения. Такое возрастание \bar{D}_O_2 отмечали в первые 5—10 мин измерений и не включали в расчет средних значений. Объяснение начального возрастания \bar{D}_O_2 нуждается в отдельном анализе. Вероятно, это возрастание вызвано механическим действием датчика на ткань. В таблице представлены средние значения эффективных коэффициентов диффузии кислорода в обследованных тканях животных разных экспериментальных групп. В контроле наиболее низкие средние значения \bar{D}_O_2 характерны для мышечной ткани взрослых животных, они почти на порядок ниже, чем в калибровочном растворе. Высокие значения коэффициентов присущи подкожной области взрослых и молодых животных. Для взрослых животных характерно различие \bar{D}_O_2 мышечной ткани и подкожной области. Средние значения коэффициентов исследованных тканей молодых животных практически не различаются и, таким образом, являются более однородными по отношению к транспорту кислорода, чем ткани взрослых животных.

Значения эффективных коэффициентов диффузии кислорода, обнаруженные в тканях животных двух контрольных возрастных групп, как

оказалось, не постоянны. Их средние значения изменяются при воздействии растительными жирами разной насыщенности в качестве добавок к обычному пищевому рациону животных. Результаты этого отображены на рисунке. Как видно из рисунка и таблицы, пищевые жировые добавки приводят к разному, а в некоторых случаях разнонаправленному изменению DO_2 в тканях молодых и взрослых животных. Так, после добавления в пищу молодых животных жиров с преобладанием НЖК, происходит значительное возрастание DO_2 в исследуемых тканях. Применение такого рациона для взрослых животных приводит к противоположному эффекту: эффективный коэффициент диффузии O_2 уменьшается либо остается без изменений. Использование диет с преобладанием ненасыщенных жирных кислот (ННЖК) резко повышает средние значения DO_2 в тканях взрослых животных. У молодых животных при этом отмечено возрастание DO_2 лишь в подкожной области.

Средние значения эффективных коэффициентов диффузии кислорода ($\text{DO}^2 \cdot 10^6 \text{ см}^2/\text{s}$) в тканях животных различных возрастных групп ($M \pm m$)

Серия	Мышечная ткань		Подкожная область	
	молодых животных	взрослых животных	молодых животных	взрослых животных
Контрольные животные	$5,72 \pm 1,00$ (13)	$3,70 \pm 1,81$ (12)	$5,29 \pm 1,43$ (10)	$6,39 \pm 1,40$ (8)
Животные, получавшие к основному рациону насыщенные жирные кислоты	$10,58 \pm 1,85$ (9)	$2,66 \pm 0,51$ (10)	$10,35 \pm 2,45$ (9)	$3,22 \pm 1,00$ (6)
Животные, получавшие к основному рациону ненасыщенные жирные кислоты	$7,22 \pm 2,09$ (10)	$8,98 \pm 2,03$ (4)	$11,56 \pm 2,35$ (8)	$12,65 \pm 1,87$ (6)

Примечание. В скобках — число животных.

Полученные результаты о вариациях тканевого коэффициента диффузии позволяют заключить, что условия транспорта кислорода в тканях не постоянны. Обсуждая эти результаты, необходимо прежде всего исключить возможность методической ошибки. Не подвергая пока анализу теорию диффузационного датчика, которая достаточно хорошо разработана электрохимиками [4, 7], мы проверили работу датчика в средах с различными коэффициентами диффузии. Ранее было показано, что в растворах с различной концентрацией альбумина коэффициент DO_2 уменьшается с возрастанием концентрации белка [9]. Специальные опыты проведены нами с растворами эритроцитов. Оказалось, что в плотной свежеотцентрифужированной эритроцитарной массе коэффициент DO_2 при 20°C составляет $(0,44 \pm 0,02) \cdot 10^{-5} \text{ см}^2/\text{s}$ и возрастает по мере разбавления ее буферным раствором. Для объемного соотношения эритроцитов и буфера 1:1 DO_2 повышается до $1,0 \cdot 10^{-5} \text{ см}^2/\text{s}$, а для 1:10 — до $1,6 \cdot 10^{-5} \text{ см}^2/\text{s}$. Таким образом, повышение плотности среды, увеличение концентрации клеточных элементов способствуют уменьшению коэффициента диффузии, что оправдывает применяемый нами метод, по крайней мере, качественно.

В литературе имеются данные, подтверждающие зависимость тканевой диффузии кислорода, углекислого газа и водорода от содержания воды в ткани [25]. Известно, что более интенсивный обмен веществ (потребление кислорода) присущ тканям с большей обводненностью [3], а по мере старения организма ткани теряют воду [8, 12]. Имеются сведения о том, что кратковременная ишемия мозга приводит к фазным изменениям коэффициента DO_2 [24]. Авторы цитируемой работы тоже предполагают, что эти изменения наступают в результате нарушения обводненности исследуемого участка. В наших исследованиях не исключены аналогичные процессы во время пребывания электрода в ткани. Однако результаты, свидетельствующие о значительном и разнонаправ-

ленном изменении коэффициентов диффузии кислорода в мышечной ткани и подкожной области животных, не могут быть объяснены на основе существующих теорий. Нельзя не упомянуть о том, что это явление не всегда приводит к изменению коэффициентов диффузии кислорода в мышцах и подкожной области. Так, например, в мышцах крыс, содержащих в основном ненасыщенные жирные кислоты, коэффициент диффузии кислорода в мышцах и подкожной области одинаков [14]. В то же время в мышцах крыс, содержащих в основном насыщенные жирные кислоты, коэффициент диффузии кислорода в мышцах выше, чем в подкожной области [15].

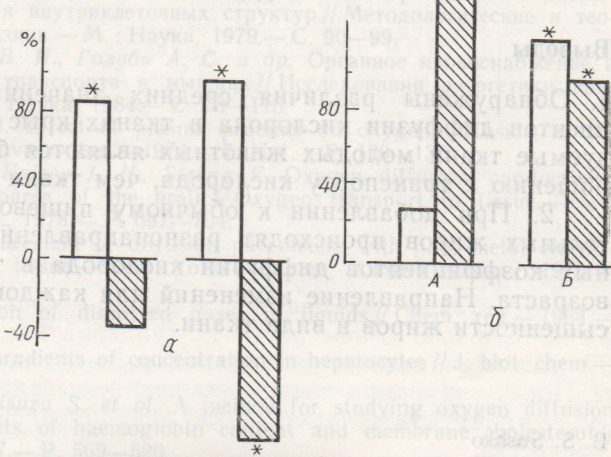
Изменения эффективных коэффициентов диффузии кислорода в мышце и подкожной области крыс, содержащих в основном насыщенные жирные кислоты, не всегда одинаковы. Так, например, в мышцах крыс, содержащих в основном ненасыщенные жирные кислоты, коэффициент диффузии кислорода в мышцах выше, чем в подкожной области [14]. В то же время в мышцах крыс, содержащих в основном насыщенные жирные кислоты, коэффициент диффузии кислорода в мышцах выше, чем в подкожной области [15].

В наших исследованиях коэффициент диффузии кислорода в мышцах и подкожной области крыс, содержащих в основном насыщенные жирные кислоты, не одинаковы. Так, например, в мышцах крыс, содержащих в основном насыщенные жирные кислоты, коэффициент диффузии кислорода в мышцах выше, чем в подкожной области [14]. В то же время в мышцах крыс, содержащих в основном насыщенные жирные кислоты, коэффициент диффузии кислорода в мышцах выше, чем в подкожной области [15].

Таким образом, в мышцах крыс, содержащих в основном насыщенные жирные кислоты, коэффициент диффузии кислорода в мышцах выше, чем в подкожной области [14]. В то же время в мышцах крыс, содержащих в основном насыщенные жирные кислоты, коэффициент диффузии кислорода в мышцах выше, чем в подкожной области [15].

ленном изменении эффективных коэффициентов D_{O_2} в тканях при алиментарном воздействии жирами, трудно достаточно полно объяснить лишь на основании «теории изменения обводненности».

Нельзя не учитывать тот факт, что употребление в пищу жиров приводит к изменению структуры тканей в отношении транспорта O_2 и прежде всего биологических мембран [1, 2]. С одной стороны, несмотря на диффузионные ограничения, вызванные наличием мембран, как более плотных структур на пути кислорода, они способствуют предельно возможному ускорению превращения веществ с резкой



Изменения эффективных коэффициентов диффузии кислорода в мышце (A) и подкожной области (B) молодых (светлые столбики) и взрослых (заштрихованные столбики) крыс при алиментарном воздействии растительными жирами (% к контролю): а — жиры с преобладанием насыщенных, б — ненасыщенных жирных кислот. * $P < 0,05$.

экономией каталитического вещества в гетерогенной среде по отношению к гомогенной среде [13, 14]. С другой, — можно предположить наличие значимых для транспорта активных процессов со стороны тканевых структур, способствующих распределению кислорода. Работающие ферменты, сократительные белки могут образовывать многомолекулярные ансамбли с синхронным (конформационным) движением, в результате которого происходит активное перемещение среды, эквивалентное существенному ускорению диффузии [13].

В наших микроэлектродных измерениях профиля концентрации O_2 в одиночных клетках [2] и цитоспектрометрических исследованиях, проведенных Jones и Mason [20], не обнаружено равномерной диффузионной картины распределения кислорода. Следовательно, биологические свойства живого не только находят свое отображение в диффузионных моделях, но и вступают с ними в противоречие. Во-первых, пространство между капиллярами, да и отдельные клетки не являются гомогенными, а представляют собой в высшей мере гетерогенные образования в отношении транспорта и растворимости кислорода. Во-вторых, живые системы нельзя представить как неподвижную физическую диффузионную среду с присущим ей молекулярным переносом веществ только за счет теплового движения молекул. Существование броуновского движения в эукариотической клетке, как видимого отражения молекулярной диффузии, — признак ее гибели [11]. Живая клетка определенным образом ориентирует свои органеллы и субклеточные частицы, и все в ней находится в состоянии направленного движения, поддерживаемого за счет метаболизма [6].

Таким образом, реально предположить, что в живой ткани наряду с диффузионным перемещением кислорода существует трансляционный его перенос движением самой среды. Подтверждением этого могут служить обнаруженные нами вариации эффективных коэффициентов D_{O_2} . Изучая в ячейке дыхание кусочков ткани, Longmuir и Bourke [22] обнаружили более высокие значения эффективных коэффициентов D_{O_2} по сравнению с ожидаемыми. На основании этих данных они

высказали предположение о существовании активного тканевого процесса в дышащей ткани по отношению к транспорту кислорода.

Приведенные выше рассуждения и результаты экспериментальных исследований позволяют заключить, что для живых клеток и тканей теряется физический смысл коэффициента диффузии. Судить об эффективности транспорта веществ в живых системах можно лишь по некоторым реальным коэффициентам переноса, обеспечивающим в каждом случае наиболее эффективный обмен веществ и отражающим биологическое движение материи. В этом смысле такими характеристиками транспорта O_2 в тканях служили эффективные коэффициенты диффузии кислорода, измерению которых посвящена данная статья.

Выводы

1. Обнаружены различия средних значений эффективных коэффициентов диффузии кислорода в тканях крыс разного возраста. Исследуемые ткани молодых животных являются более однородными по отношению к транспорту кислорода, чем ткани взрослых животных.
 2. При добавлении к обычному пищевому рациону крыс растительных жиров происходят разнонаправленные изменения эффективных коэффициентов диффузии кислорода в тканях животных разного возраста. Направление изменений для каждого возраста зависит от насыщенности жиров и вида ткани.

B. S. Sushko

VARIATIONS OF EFFICIENT OXYGEN DIFFUSIVITIES IN TISSUES OF DIFFERENT-AGE RATS AS AFFECTED BY AGE AND ALIMENTARY FACTORS

A method intended to record and analyze kinetics of decrease in the initial part of current on platinum diffusion oxygen sensor has been used to estimate efficient oxygen diffusivities (D_{O_2}) to the working surface of sensor in the muscular tissue and in tissue of the subcutaneous area of posterior extremities in anesthetized rats of different age in control and after addition of plant fats with various content of saturated fatty acids to their usual ration. It is shown that average value of D_{O_2} in the muscular tissue of young animals is higher than in the muscle of adult animals. In adult animals D_{O_2} of the subcutaneous area is higher than that of the muscle. There are no significant differences of coefficients in the examined tissues of young animals. Addition of plant fats to the basal food ration causes differently directed changes of D_{O_2} in tissues of young and adult animals. These changes depend on the tissue of animal and saturation of fats. A problem on the existence of translation transfer of substances parallel with diffusion one in live tissues is under discussion.

A. A. Bogomoletz Institute of Physiology,
Academy of Sciences of the Ukrainian SSR, Kiev

СПИСОК ЛИТЕРАТУРЫ

1. Березовский В. А., Сушко Б. С. Влияние диет с различным содержанием насыщенных и ненасыщенных жирных кислот на диффузию кислорода в мышечной ткани // Физиол. журн.—1986.—32, № 4.—С. 492—495.
 2. Березовский В. А., Сушко Б. С. Профиль концентрации кислорода в клетке и некоторые спорные вопросы перемещения свободного кислорода в биологических объектах // Там же.—1984.—30, № 3.—С. 345—355.
 3. Буланкин И. Н. Физическая и колloidная химия.—Харьков: Изд-во Харьков. ун-та, 1959.—355 с.
 4. Делимарский Ю. К., Скобец Е. М. Полярография на твёрдых электродах.—Киев: Техника, 1970.—220 с.
 5. Иванов К. П., Кисляков Ю. Я. Энергетическое потребление и кислородное обеспечение головного мозга.—Л.: Наука, 1979.—215 с.
 6. Каппиччинелли П. Подвижность живых клеток.—М.: Мир, 1982.—126 с.

7. Кольтгофф И. 573 с.
8. Лопатина Н. И.
9. Сушко Б. С. А разделения коэффициентов № 1.— С. 113—
10. Филиппов Л. П.
11. Фултон А. Ци 120 с.
12. Хмелевский Ю. в номере и при
13. Шноль С. Э. 1979.— 263 с.
14. Шноль С. Э., Евционный смысл реторические проблемы
15. Шошенко К. А. особенности кишечника рыб.— Н
16. Bryant S. C., J. pulmonary capillaries
17. Clark D. K., E. and solubility York : Plenum P
18. Erdman W., Kreides // Oxygen transport. P. 225—228.
19. Himmelblau D. 64, N 4.— P. 52
20. Jones D. F., Macmillan 253, N 14.— P. 10
21. Kazunori K., Naohiro barrier in erythrocytes. J. Physiol.— 1980
22. Longmuir J. S., ring tissue // Biology
23. McCabe M., Maturation.— 1967.— 21
24. Morawetz R., Studies in the brain cortex coefficients of O
25. Vaupel P. Effect

Ин-т физиологии им
АН УССР, Киев

УДК 576.21:619.112.02/0

УДК 576.31:612.112.93/9

И. С. Никольский, 3

C

Структуры кл в мастоидимфс

Ранее мы обнаружили лимфоцитов и макрофагов (МАЛ) *in vitro* в образах гетероэритроцитарных клеток, которые являются главным способом соединять лимфоциты. Метод дифференциации позволяет предсказать взаимодействие с И. С. Никольским

7. Кольтгофф И. М., Лингейн Д. Дж. Поляграфия. — М.: Гостехиздат, 1948.— 573 с.
8. Лопатина Н. И. Возрастная биохимия.— Л.: Наука, 1978.— 44 с.
9. Сушко Б. С. Автоматизированный метод прижизненного полярографического определения коэффициента диффузии кислорода в ткани // Физiol. журн.— 1988.— 34, № 1.— С. 113—118.
10. Филиппов Л. П. Явление переноса.— М.: Изд-во МГУ, 1986.— 120 с.
11. Фултон А. Цитоскелет: Архитектура и хореография клетки.— М.: Мир, 1987.— 120 с.
12. Хмелевский Ю. В., Усатенко О. К. Основные биологические константы человека в номере и при патологии.— К.: Здоровье, 1984.— 120 с.
13. Шноль С. Э. Физико-химические факторы биологической эволюции.— М.: Наука, 1979.— 263 с.
14. Шноль С. Э., Ермакова Е. А., Франк Г. М. Диффузионные ограничения и эволюционный смысл образования внутриклеточных структур // Методологические и теоретические проблемы биофизики.— М.: Наука, 1979.— С. 90—99.
15. Шошенко К. А., Баранов В. И., Голубь А. С. и др. Органное кровоснабжение и особенности кислородного транспорта в мышцах // Исследования энергетики движения рыб.— Новосибирск: Наука, 1984.— С. 78—115.
16. Bryant S. C., Navari R. M. Effect of plasma proteins on oxygen diffusion in the pulmonary capillaries // Microvasc. Res.— 1974.— 7, N 1.— P. 120—130.
17. Clark D. K., Erdman W., Halsey J. H., Strong E. Oxygen diffusion, conductivity and solubility in the microarea of the brain // Oxygen transport to tissue.— New York: Plenum Publish Comp., 1978.— P. 697—704.
18. Erdman W., Krell W. Measurement of diffusion parameters with nobl metal electrodes // Oxygen transport to tissue.— New York: Plenum Publish Comp., 1976.— P. 225—228.
19. Himmelblau D. M. Diffusion of dissolved gases in liquids // Chem. rev.— 1964.— 64, N 4.— P. 527—550.
20. Jones D. F., Mason H. S. Gradients of concentration in hepatocytes // J. biol. chem.— 253, N 14.— P. 4874—4880.
21. Kazunori K., Nobuji M., Misuzu S. et al. A method for studying oxygen diffusion barrier in erythrocytes: effects of haemoglobin content and membrane cholesterol // J. Physiol.— 1980.— 309, N 7.— P. 569—590.
22. Longmuir J. S., Bourke A. The measurement of the diffusion oxygen through respiration tissue // Biochem. J.— 1960.— 76, N 2.— P. 225—229.
23. McCabe M., MacDougall J. B. Diffusion coefficient of oxygen through tissues // Nature.— 1967.— 215, N 5104.— P. 1173—1174.
24. Morawetz R., Strong L. H., Clark D. K. Effects of ischemia on the oxygen coefficients in the brain cortex // Adv. exp. Med. and Biol.— 1978.— 94.— P. 629—632.
25. Vaupel P. Effect of percentual water content in tissues and liquids on the diffusion coefficients of O₂, CO₂ and H₂.— Pflüg. Arch. 1976.— 361, N 3.— P. 201—204.

Ин-т физиологии им. А. А. Богомольца
АН УССР, Киев

Материал поступил
в редакцию 16.03.90

UDK 576.31:612.112.93/94
И. С. Никольский, Л. П. Маевская

Структуры клеточной мембраны, участвующие в мастолимфоцитарном взаимодействии

Ранее мы обнаружили, что плазматические мембранные тучных клеток и лимфоцитов определенного типа, в частности мастоцитоцитарных лимфоцитов (МАЛ), обладают взаимным средством, что проявляется *in vitro* в образовании мастолимфоцитарных розеток (МЛР) [2]. Гомо- и гетероэрритроциты, макрофаги, фибробласти и клетки HeLa розеток с тучными клетками не образуют. В норме у животных МАЛ локализуются главным образом в тимусе [3]. Способность тучных клеток присоединять лимфоциты лишь определенного типа положена в основу метода дифференциальной диагностики гемобластозов [6]. Изложенное позволяет предположить, что образование МЛР происходит в результате взаимодействия мембранных структур лимфо- и мастоцитов, исслед.

© И. С. Никольский, Л. П. Маевская, 1991.